

Numerikk ; simulering av labforsøket :

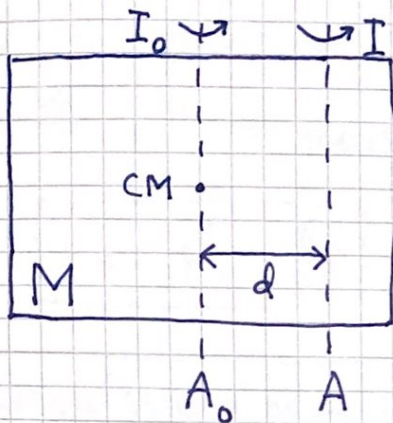
- I `cubicspline.py` fastlegges høydene Y_0, Y_1, \dots, Y_7 til de 8 festeskruene ved å trekke tilfeldige tall mellom 0 og 300 mm, slik at kula ruller hele veien. Tilhørende X_0, X_1, \dots, X_7 er 0, 200, ..., 1400 mm.
- Funksjonen `CubicSpline` fra `scipy.interpolate` lager "glatt og pen" baneform $y(x)$ i form av 3. gradspolynom $(ax^3 + bx^2 + cx + d)$ mellom skruene.
- Med `import numpy as np` og deretter `x = np.arange(0.000, 1.401, 0.001)` blir `x` en tabell med verdiene $(0.000, 0.001, 0.002, \dots, 1.400)$ hvorefter "alle interessante størrelser" kan beregnes på disse 1401 stedene horisontalt, dvs $y(x), y'(x), y''(x), R^{-1}(x), \beta(x), V(x), A_{||}(x), A_{\perp}(x), f(x), N(x), V_x(x) = V(x) \cdot \cos[\beta(x)], \dots$
- Tidsutvikling $x(t)$: Aller enklest er å bruke at $V_x = \Delta x / \Delta t$, slik at $\Delta t(x) = \Delta x / V_x(x)$ blir tid brukt på horisontal forflytning fra x til $x + \Delta x$.

Ekspementelt :

- Filme (minst) 10 "identiske" rulleforsøk med mobilkamera.
- Måle $\{t, x, y\}$ med programmet `tracker`.
- Beregne skuffart, med middelværdi og standardfeil. Sammenligne numerikk og eksperiment.

Steiners sats [OS1 10.5; YF 9.5; LL 6.3]

(41)

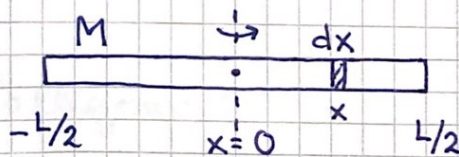


Hvis akse A er parallell med akse A₀ gjennom CM:

$$I = I_0 + M \cdot d^2$$

[Se notat for utledning.]

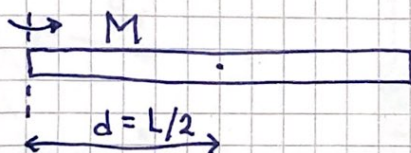
Eks 1: Tynn stang eller plate (f.eks. ei dør)



$$g = x, \quad dm/M = dx/L$$

$$\Rightarrow I_0 = \int_{-L/2}^{L/2} x^2 \cdot M \cdot \frac{dx}{L} = \frac{1}{12} ML^2$$

(svingdør)

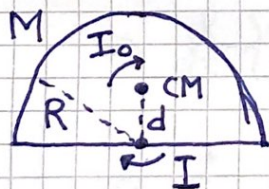


$$I = I_0 + M \cdot d^2 = \frac{1}{12} ML^2 + M \cdot \left(\frac{L}{2}\right)^2$$

$$= \frac{1}{3} ML^2$$

(rankig dør)

Eks 2: Halv sirkulær plate (se s. 33 og 36)



Hel plate med masse 2M: $\frac{1}{2} \cdot 2M \cdot R^2$

$$\Rightarrow I = \frac{1}{2} \cdot \left(\frac{1}{2} \cdot 2M \cdot R^2\right) = \frac{1}{2} MR^2$$

Steiners sats: $I = I_0 + Md^2$; $d = \frac{4}{3\pi} R$

$$\Rightarrow I_0 = I - Md^2 = \frac{1}{2} MR^2 - \frac{16}{9\pi^2} MR^2 \approx \underline{0.32 MR^2}$$

Impuls, kollisjoner, rakett [OS1 9; YF8; LL5] (42)

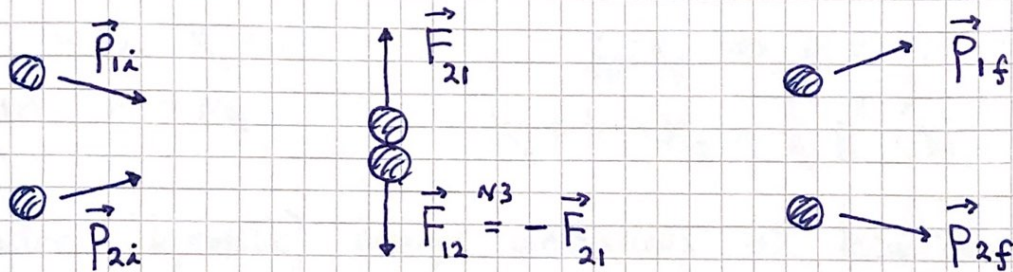
$$N2 \text{ for masse } m: \vec{F} = m \frac{d\vec{v}}{dt} = \frac{d}{dt}(m\vec{v})$$

$\vec{p} \stackrel{\text{def}}{=} m\vec{v} = \text{massens impuls (evt bevegelsesmengde)}$

$$\Rightarrow \boxed{N2: \vec{F} = \frac{d\vec{p}}{dt}} \quad [p] = \text{kg} \cdot \text{m/s}$$

Impulsbevarelse: Hvis netto ytre kraft $\vec{F} = 0$, er systemets impuls \vec{p} bevart.

Kollisjoner:



$$N3 \Rightarrow \vec{F}_{21} + \vec{F}_{12} = 0 \quad \stackrel{N2}{\Rightarrow} \frac{d\vec{p}_1}{dt} + \frac{d\vec{p}_2}{dt} = 0$$

$$\Rightarrow \frac{d}{dt} \{ \vec{p}_1 + \vec{p}_2 \} = 0$$

$$\Rightarrow \vec{p}_{\text{TOT}} = \vec{p}_1 + \vec{p}_2 = \text{konstant}$$

Pga N3 endrer indre krefter ikke systemets totale impuls

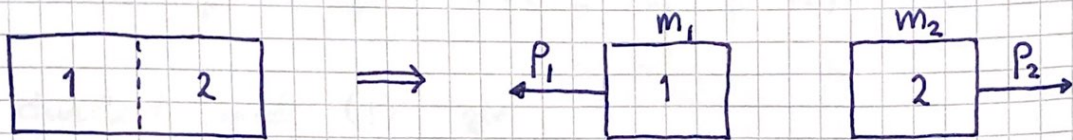
Kollisjoner (støt) er som regel kontinuerlige

$\Rightarrow \Delta U \approx 0$; $\Delta E \approx \Delta K \leq 0$; mekanisk energi kan gå tapt pga deformasjon, varme osv.

$\Delta E = 0$: elastisk støt; $\Delta E < 0$: uelastisk støt

Fullstendig uelastisk støt når legemene henger sammen med felles slutfart. Gir maksimal $|\Delta E|$.

Eksplisjon : Omvendt fullstendig uelastisk støt.

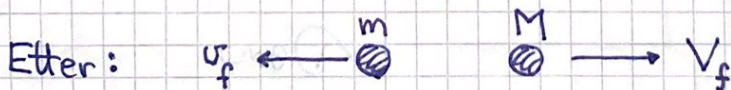
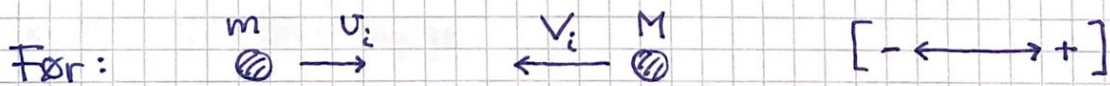


$P_i = 0, K_i = 0$
 $m = m_1 + m_2$

$P_f = P_i \Rightarrow P_1 = -P_2$
 $K_f = K_1 + K_2 = \frac{1}{2} P_1^2 \left(\frac{1}{m_1} + \frac{1}{m_2} \right)$

Indre (kjemisk) energi omdannes til kin. energi

Sentralt støt mellom to masser :



$\Delta p = 0 \Rightarrow m u_i + M V_i = m u_f + M V_f \quad (1)$

Fullstendig uelastisk (delvis uelastisk ikke løsbart):

(44)

$$\text{m+M} \rightarrow v_f = V_f = \frac{m u_i + M V_i}{m+M}$$

Elastisk: $\Delta K = 0$

$$\frac{1}{2} m u_i^2 + \frac{1}{2} M V_i^2 = \frac{1}{2} m u_f^2 + \frac{1}{2} M V_f^2 \quad (2)$$

Omskning av (1) og (2), samt bruk av 3. kvadratsetning:

$$m(u_i - u_f) = M(V_f - V_i) \quad (1)$$

$$m(u_i - u_f)(u_i + u_f) = M(V_f - V_i)(V_f + V_i) \quad (2)$$

(2) dividert med (1) gir

$$u_i + u_f = V_f + V_i \quad (3)$$

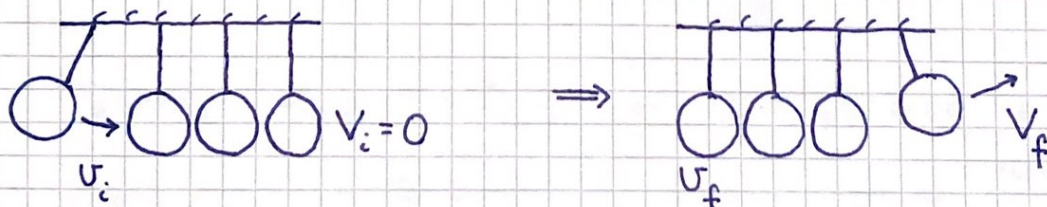
hvoretter hhv $(3) \cdot M - (1)$ og $(3) \cdot m + (1)$ gir:

$$u_f = \frac{M}{m+M} \left\{ 2V_i + u_i \cdot \frac{m-M}{M} \right\}$$

$$V_f = \frac{m}{M+m} \left\{ 2u_i + V_i \cdot \frac{M-m}{m} \right\}$$

ved ombytningene
 $m \leftrightarrow M$
 $u_i \leftrightarrow V_i$

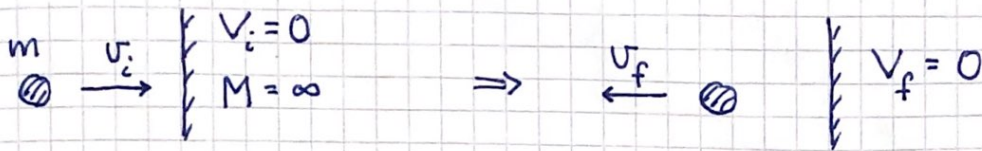
Eks 1: Newtons vugge



$$m = M \Rightarrow V_f = u_i, \quad u_f = V_i = 0$$

Eks 2: Elastisk støt mellom ball og vegg

(45)



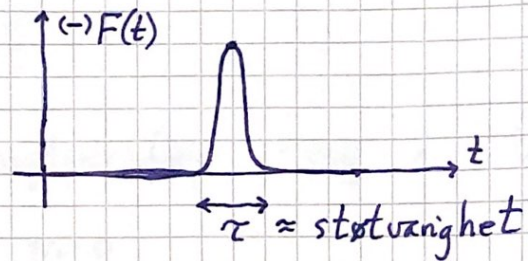
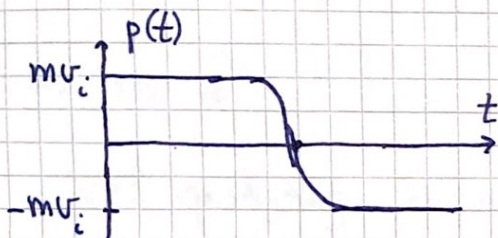
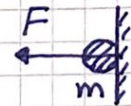
$$u_f = \frac{M}{m+M} \cdot \left\{ 0 + u_i \cdot \frac{m-M}{M} \right\} \stackrel{m \ll M}{=} -u_i$$

$$K_f = \frac{1}{2} m u_f^2 = \frac{1}{2} m u_i^2 = K_i$$

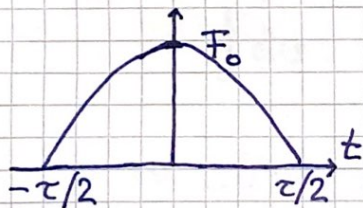
$$p_f = m u_f + M V_f = -m u_i + M \cdot \frac{m}{m+M} \cdot 2u_i = m u_i = p_i$$

OK!

“Kraftstøt” på ballen: $dp = F(t) dt$



Eks: $F(t) = F_0 \cos(\pi t / \tau)$ for $-\tau/2 < t < \tau/2$



$$\Delta p = \int dp = \int F(t) dt$$

$$= F_0 \int_{-\tau/2}^{\tau/2} \cos(\pi t / \tau) dt$$

$$= F_0 \cdot \left| \frac{\tau}{\pi} \sin(\pi t / \tau) \right|_{-\tau/2}^{\tau/2} = \frac{2}{\pi} F_0 \tau$$

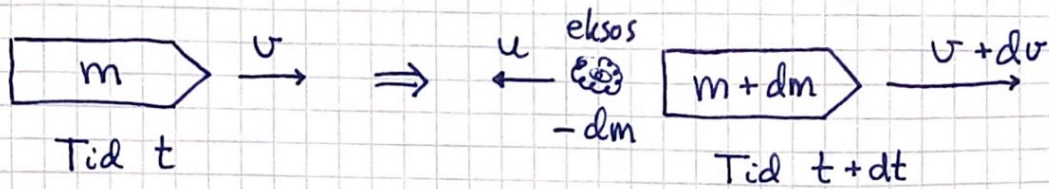
Talleks: Hvis $\tau = 2 \text{ ms}$ og $u_i = 20 \text{ m/s}$, blir

$$\Delta p = 2 m u_i = \frac{2}{\pi} F_0 \tau \quad \text{og} \quad \langle a \rangle = \frac{2 u_i}{\tau} = \frac{40 \text{ m/s}}{2 \text{ ms}} = 20 \frac{\text{km}}{\text{s}^2}$$

dvs $\langle a \rangle \gg g$, og ytre kraft mg kan trygt neglisjeres i støtet.

Rakett:

(46)



Eksos (masse $-dm > 0$) sendes bakover med fart $u < 0$ relativt raketten; pga impulsbevarelse får raketten økt fart dv i løpet av tida dt :

$$\underbrace{m \cdot dv}_{\substack{\text{økning i} \\ \text{raketten's impuls}}} = \underbrace{u \cdot dm}_{\substack{\text{eksosens} \\ \text{impuls}}}$$

$$\Rightarrow m \cdot \frac{dv}{dt} = F_{\text{skyv}} = u \cdot \frac{dm}{dt}$$

Ved oppskyting kommer tyngdekraften $-mg$ i tillegg:

$$m \cdot a = u \cdot \dot{m} - m \cdot g$$

som kan multipliseres med dt/m og integreres:

$$\int dv = u \int \frac{dm}{m} - g \int dt$$

$$\Rightarrow v(t) = u \ln \frac{m(t)}{m(0)} - g \cdot t$$

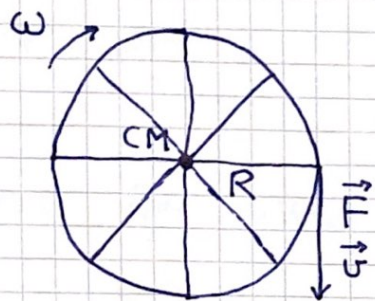
(antar $v(0) = 0$
og konstante u, g)

[Øving!]

Rotasjonsdynamikk ; akse med fast orientering

[OS1 10 ; YF 10 ; LL 6]

Enkelt eksempel :



Effekt tilført hjulet :

$$P = \vec{F} \cdot \vec{v} = F \cdot v = F \cdot R \cdot \omega$$

Kraftens dreiemoment :

$$\tau = F \cdot R$$

$$\Rightarrow P = \tau \cdot \omega$$

Alternativt :

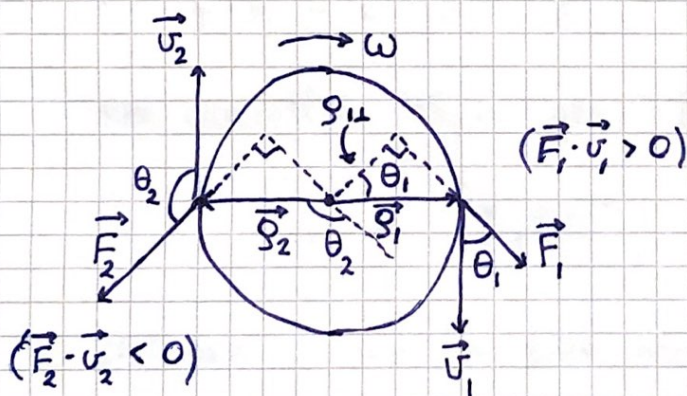
$$P = \frac{dK}{dt} = \frac{d}{dt} \left\{ \frac{1}{2} I_0 \omega^2 \right\} = \frac{1}{2} I_0 \cdot 2\omega \cdot \frac{d\omega}{dt}$$

Dermed : $\tau = I_0 \dot{\omega}$

N2, rotasjon om akse med fast orientering

Jf. N2, translasjon: $F = m\dot{v}$

Med flere krefter :



$$\begin{aligned} P &= \sum_i \vec{F}_i \cdot \vec{v}_i \\ &= \sum_i F_i v_i \cos \theta_i \\ &= \left\{ \sum_i F_i r_i \cos \theta_i \right\} \cdot \omega \\ &= \underbrace{\left\{ \sum_i F_i r_{i\perp} \right\}}_{= \tau} \cdot \omega \end{aligned}$$

$\tau = \sum_i F_i r_{i\perp}$ = netto ytre dreiemoment, mhp rot.aksen

$r_{i\perp}$ = avstanden fra aksen til kraftens forlengelseslinje
(= kraftens arm)

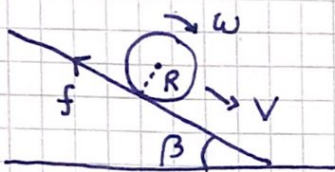
Arbeid utført av τ :

$$P = \tau \cdot \omega = \tau \cdot \frac{d\varphi}{dt} \quad \text{og} \quad P = \frac{dW}{dt}$$

$\Rightarrow dW = \tau d\varphi =$ arbeid utført av τ ved omlopt vinkel $d\varphi$

Jf. $dW = \vec{F} \cdot d\vec{r} =$ arbeid utført av \vec{F} ved translasjon $d\vec{r}$

Eks1: Ren rulling på skråplan



$$I_o = cMR^2, \quad \omega = \frac{v}{R}, \quad \dot{\omega} = \frac{\dot{v}}{R}$$

$$N2, \parallel : Mg \sin \beta - f = M\dot{v}$$

$$N2, \text{ rotasjon om akse gjennom CM: } \tau = I_o \dot{\omega}$$

Både \vec{N} og $M\vec{g}$ har null arm mhp rotasjonsaksen

$$\Rightarrow \tau = f \cdot R$$

$$\Rightarrow f \cdot R = cMR^2 \cdot \frac{\dot{v}}{R} \quad \Rightarrow f = cM\dot{v}$$

$$\text{som innsatt i } N2, \parallel \text{ gir } Mg \sin \beta - cM\dot{v} = M\dot{v}$$

$$\text{dvs } \dot{v} = \frac{g \sin \beta}{1+c},$$

det samme som vi fikk med energibevarelse (s.38).